

# 光前夸克模型下 $P \rightarrow T$ 跃迁形状因子研究

学科、专业 : 物理学、粒子物理与原子核物理  
研究方向 : 粒子物理理论  
申请学位 : 理学硕士  
申请人 : 任玉宛  
指导教师 : 常钦 教授、陈丽丽 讲师

2022 年 4 月 4 日

# Outline

1 研究动机

2 理论框架

3 数值结果与分析

4 总结与展望

5 致谢

- 由重夸克到轻夸克跃迁引起的 $B$ 介子和 $D$ 介子的衰变过程在检验标准模型和寻找新物理等方面具有重要意义。

受 $R_{D(*)}$ 反常的启发，研究张量( $T$ )介子的衰变对寻找新物理效应具有很大优势。

Y. S. Amhis *et al.* [HFLAV], Eur. Phys. J. C **81**, no.3, 226 (2021);

- 在介子弱衰变的研究中，形状因子是必不可少的非微扰输入参数。

光前夸克模型为非微扰物理量的计算提供了一个概念上简单，唯象上可行的理论框架。

M. V. Terentev, Sov. J. Nucl. Phys. **24**, 106 (1976);

V. B. Berestetsky and M. V. Terentev, Sov. J. Nucl. Phys. **25**, 347-354 (1977);

W. Jaus, Phys. Rev. D **41**, 3394 (1990);

W. Jaus and D. Wyler, Phys. Rev. D **41**, 3405 (1990).

主要任务：

$$\mathcal{B} \equiv \langle T(\epsilon^{\mu\nu*}, p'') | \bar{q}_1''(k_1'') \Gamma q_1'(k_1') | P(p') \rangle, \quad \Gamma = \sigma_{\mu\nu}, \sigma_{\mu\nu}\gamma_5, \dots \quad (1)$$

标准光前夸克模型 (SLF QM) :

介子束缚态：

$$|M(p, L, J)\rangle = \sum_{h_1, h_2} \int \frac{d^3 k_1}{(2\pi)^3 2\sqrt{k_1^+}} \frac{d^3 k_2}{(2\pi)^3 2\sqrt{k_2^+}} (2\pi)^3 \delta^3(p - k_1 - k_2) \Psi_{LS}^{JJ_z}(k_1, h_1, k_2, h_2) |q_1(k_1, h_1)\rangle |\bar{q}_2(k_2, h_2)\rangle, \quad (2)$$

动量空间波函数  $\Psi_{LS}^{JJ_z}(k_1, h_1, k_2, h_2)$ :

$$\Psi_{LS}^{JJ_z}(k_1, h_1, k_2, h_2) = S_{h_1, h_2}(x, \mathbf{k}_\perp) \psi(x, \mathbf{k}_\perp) \quad (3)$$

自旋轨道波函数  $S_{h_1, h_2}(x, \mathbf{k}_\perp)$ : Phys. Rev. D **41**, 3405 (1990); Phys. Rev. D **69**, 074025 (2004);

$$S_{h_1, h_2} = \frac{\bar{u}(k_1, h_1)\Gamma' v(k_2, h_2)}{\sqrt{2}\hat{M}_0}, \quad (4)$$

其中,  $P$ 和 $T$ 介子的顶角算符 $\Gamma'$ :

$$\Gamma'_P = \gamma_5, \quad (5)$$

$$\Gamma'_T = -\frac{1}{2}\hat{\epsilon}^{\mu\nu}\left[\gamma_\mu - \frac{(k_1 - k_2)_\mu}{D_{T,LF}}\right](k_1 - k_2)_\nu, \quad D_{T,LF} = M_0 + m_1 + m_2, \quad (6)$$

径向波函数  $\psi(x, \mathbf{k}_\perp)$ :

$$\psi_s(x, \mathbf{k}_\perp) = 4\frac{\pi^{\frac{3}{4}}}{\beta^{\frac{3}{2}}}\sqrt{\frac{\partial k_z}{\partial x}} \exp\left[-\frac{k_z^2 + \mathbf{k}_\perp^2}{2\beta^2}\right], \quad (7)$$

$$\psi_p(x, \mathbf{k}_\perp) = \frac{\sqrt{2}}{\beta}\psi_s(x, \mathbf{k}_\perp), \quad (8)$$

矩阵元:

$$\begin{aligned} \mathcal{B}_{SLF} &= \sum_{h'_1, h''_1, h_2} \int \frac{dx d^2\mathbf{k}'_\perp}{(2\pi)^3 2x} \psi''^*(x, \mathbf{k}''_\perp) \psi'(x, \mathbf{k}'_\perp) S_{h'_1, h_2}^{''\dagger}(x, \mathbf{k}''_\perp) \\ &\quad C_{h''_1, h'_1}(x, \mathbf{k}'_\perp, \mathbf{k}''_\perp) S'_{h'_1, h_2}(x, \mathbf{k}'_\perp) \end{aligned} \quad (9)$$

## 协变光前夸克模型 (CLF QM) :

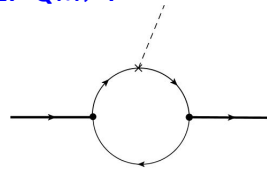


Figure: 矩阵元  $\mathcal{B}$  费曼图

矩阵元:

$$\mathcal{B} = N_c \int \frac{d^4 k'_1}{(2\pi)^4} \frac{H_P H_T}{N'_1 N''_1 N_2} i \mathbf{S}_{\mathcal{B}} \cdot \epsilon^*, \quad (10)$$

内线费米子圈求迹部分  $\mathbf{S}_{\mathcal{B}}$ :

$$\mathbf{S}_{\mathcal{B}} = \text{Tr} \left[ \Gamma (\not{k}'_1 + m'_1) (i \Gamma_P) (-\not{k}_2 + m_2) (i \gamma^0 \Gamma_T^\dagger \gamma^0) (\not{k}''_1 + m''_1) \right], \quad (11)$$

顶角算符  $\Gamma_{P,T}$ :

$$i \Gamma_P = -i \gamma_5, \quad (12)$$

$$i \Gamma_T = i \frac{1}{2} \left[ \gamma_\mu - \frac{(k''_1 - k_2)_\mu}{D_{T,\text{con}}} \right] (k''_1 - k_2)_\nu, \quad D_{T,\text{con}} = M + m''_1 + m_2, \quad (13)$$

假设:  $H_{P,T}$  在  $k_1^-$  的复平面上是解析的。则, 在对  $k_1^-$  积分后,  $q_2$  在壳, 且有以下替换:

$$N_1'^{(\prime\prime)} \rightarrow \hat{N}_1'^{(\prime\prime)} = x \left( M'^{(\prime\prime)2} - M_0'^{(\prime\prime)2} \right) \quad (14)$$

$$\chi_{P(T)} = H_{P(T)}/N'^{(\prime\prime)} \rightarrow h_{P(T)}/\hat{N}'^{(\prime\prime)}, \quad D_{T,\text{con}} \rightarrow D_{T,\text{LF}}, \quad (\text{type-I}) \quad (15)$$

其中, 顶角  $h_{P(T)}$  为

$$h_{P(T)}/\hat{N}'^{(\prime\prime)} = \frac{1}{\sqrt{2N_c}} \sqrt{\frac{\bar{x}}{x}} \frac{\psi_{s(p)}}{\hat{M}_0'^{(\prime\prime)}}, \quad (16)$$

$$\chi_{P(T)} = H_{P(T)}/N'^{(\prime\prime)} \rightarrow h_{P(T)}/\hat{N}'^{(\prime\prime)}, \quad M \rightarrow M_0. \quad (\text{type-II}) \quad (17)$$

矩阵元:

$$\hat{\mathcal{B}} = N_c \int \frac{dx d^2 \mathbf{k}_\perp}{2(2\pi)^3} \frac{h_P h_T}{\bar{x} \hat{N}_1' \hat{N}_1''} \hat{S}_{\mathcal{B}} \cdot \epsilon^* \quad (18)$$

为了有效确定zero-mode贡献，我们需要以下的分解替换：

Jaus, Phys. Rev. D **60**, 054026 (1999); H. Y. Cheng, Phys. Rev. D **69**, 074025 (2004)

$$\begin{aligned} \hat{k}'^\mu \hat{k}'^\nu &\rightarrow g^{\mu\nu} A_1^{(2)} + P^\mu P^\nu A_2^{(2)} + (P^\mu q^\nu + q^\mu P^\nu) A_3^{(2)} + q^\mu q^\nu A_4^{(2)} \\ &+ \frac{P^\mu \omega^\nu + \omega^\mu P^\nu}{\omega \cdot P} B_1^{(2)} + \dots (\omega, \mathbf{C}_i^{(j)}), \end{aligned} \tag{19}$$

CLF QM中形状因子完整结果：

$$[\mathcal{F}]^{\text{full}} = [\mathcal{F}]^{\text{CLF}} + [\mathcal{F}]^{\text{B}}. \tag{20}$$

$P \rightarrow T$ 跃迁形状因子的定义:

$$\langle T(\epsilon^{\mu\nu}, p'') | \bar{q}_2 \gamma_\mu q_1 | P(p') \rangle = i \varepsilon_{\mu\nu\alpha\beta} e^{*\nu} P^\alpha q^\beta \frac{V(q^2)}{M' + M''}, \quad (21)$$

$$\begin{aligned} \langle T(\epsilon^{\mu\nu}, p'') | \bar{q}_2 \gamma_\mu \gamma_5 q_1 | P(p') \rangle &= -2M'' \frac{e^* \cdot q}{q^2} q_\mu A_0(q^2) \\ &\quad - (M' + M'') \left( e_\mu^* - \frac{e^* \cdot q}{q^2} q_\mu \right) A_1(q^2) \\ &\quad + \frac{e^* \cdot q}{M' + M''} \left( P_\mu - \frac{M'^2 - M''^2}{q^2} q_\mu \right) A_2(q^2), \end{aligned} \quad (22)$$

$$\begin{aligned} \langle T(\epsilon^{\mu\nu}, p'') | \bar{q}_2 \sigma_{\mu\nu} q^\nu (1 + \gamma_5) q_1 | P(p') \rangle &= -\varepsilon_{\mu\nu\alpha\beta} e^{*\nu} P^\alpha q^\beta T_1(q^2) \\ &\quad + i \left[ (M'^2 - M''^2) e_\mu^* - (e^* \cdot q) P_\mu \right] T_2(q^2) \\ &\quad + i \left( e^* \cdot q \right) \left[ q_\mu - \frac{q^2}{M'^2 - M''^2} P_\mu \right] T_3(q^2), \end{aligned} \quad (23)$$

其中,  $\varepsilon_{0123} = -1$ ,  $P = p' + p''$ ,  $q = p' - p''$ ,  $e^{*\nu} \equiv \frac{\epsilon^{*\mu\nu} \cdot p'_\mu}{M'}$ .

## ■ 自洽性问题

$$\begin{aligned}\tilde{T}_3^B = & \frac{2(M'^2 - M''^2)}{e^* \cdot q} \frac{\epsilon^{\lambda\delta*} q_\lambda \omega_\delta}{\omega \cdot P} \left\{ B_1^{(2)} \left[ 3 + \frac{4(m_1'' + 2m_2 - 2m_1'')}{D_{V,\text{con}}} \right] \right. \\ & \left. + 4B_1^{(3)} \left( 1 + \frac{m_1' - m_1'' - 2m_2}{D_{V,\text{con}}} \right) + \frac{8(m_1' - m_2)B_2^{(3)}}{D_{V,\text{con}}} \right\},\end{aligned}\quad (24)$$

$$\tilde{T}_3^B = \begin{cases} \frac{2M'(M'^2 - M''^2)(M'^2 - M''^2 + q_\perp^2)}{(M'^2 - M''^2)^2 + 2(M'^2 - 2M''^2)q_\perp^2 + q_\perp^4} \left\{ B_1^{(2)} \left[ 3 + \frac{4(m_1'' + 2m_2 - 2m_1')}{D_{V,\text{con}}} \right] \right. \\ \left. + 4B_1^{(3)} \left( 1 + \frac{m_1' - m_1'' - 2m_2}{D_{V,\text{con}}} \right) + \frac{8(m_1' - m_2)B_2^{(3)}}{D_{V,\text{con}}} \right\}, & \lambda'' = 0 \\ \frac{M'(M'^2 - M''^2)}{M'^2 - M''^2 + q_\perp^2} \left\{ B_1^{(2)} \left[ 3 + \frac{4(m_1'' + 2m_2 - 2m_1')}{D_{V,\text{con}}} \right] + 4B_1^{(3)} \left( 1 + \frac{m_1' - m_1'' - 2m_2}{D_{V,\text{con}}} \right) \right. \\ \left. + \frac{8(m_1' - m_2)B_2^{(3)}}{D_{V,\text{con}}} \right\}, & \lambda'' = \pm 1 \\ 0. & \lambda'' = \pm 2 \end{cases}\quad (25)$$

显然，这依赖于螺旋度 $\lambda''$ 的选择。

$$[T_3]_{\lambda=0}^{\text{full}} \neq [T_3]_{\lambda=\pm 1}^{\text{full}} \neq [T_3]_{\lambda=\pm 2}^{\text{full}}$$

定义 $\Delta_B(x)$ 为

$$\Delta_B(x) \equiv \frac{d[\mathcal{F}^B]_{\lambda''}}{dx}, \quad (26)$$

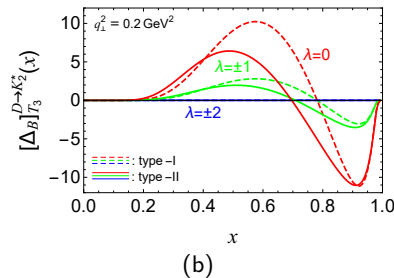
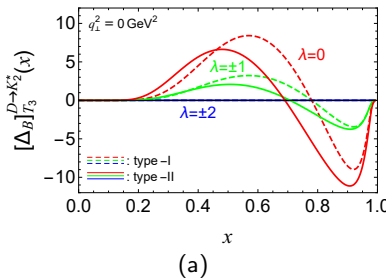


Figure:  $D \rightarrow K_2^*$  在  $q_\perp^2 = (0, 0.2) \text{ GeV}^2$  时  $[\Delta_B]_{T_3}(x)$  对  $x$  的依赖性

**Table:**  $B_c \rightarrow D_2^*$  过程形状因子  $T_3(\mathbf{q}_\perp^2)$  在  $\mathbf{q}_\perp^2 = (0, 1, 4, 9) \text{ GeV}^2$  数值结果

| $B_c \rightarrow D_2^*$  |         | $[T_3]_{\lambda''=\pm 2}^{\text{SLF}}$ | $[T_3]_{\lambda''=0}^{\text{full}}$ | $[T_3]_{\lambda''=\pm 1}^{\text{full}}$ | $[T_3]_{\lambda''=\pm 2}^{\text{full}}$ | $[T_3]^{\text{val.}}$ | $[T_3]^{\text{CLF}}$ |
|--------------------------|---------|--|-------------------------------------|---|---|-----------------------|----------------------|
| $\mathbf{q}_\perp^2 = 0$ | type-I  | 0.03                                   | -0.14                               | -0.04                                   | 0.05                                    | 0.10                  | 0.05                 |
|                          | type-II | 0.08                                   | 0.08                                | 0.08                                    | 0.08                                    | 0.08                  | 0.08                 |
| $\mathbf{q}_\perp^2 = 1$ | type-I  | 0.03                                   | -0.13                               | -0.04                                   | 0.05                                    | 0.09                  | 0.05                 |
|                          | type-II | 0.07                                   | 0.07                                | 0.07                                    | 0.07                                    | 0.07                  | 0.07                 |
| $\mathbf{q}_\perp^2 = 4$ | type-I  | 0.02                                   | -0.11                               | -0.04                                   | 0.03                                    | 0.07                  | 0.03                 |
|                          | type-II | 0.05                                   | 0.05                                | 0.05                                    | 0.05                                    | 0.05                  | 0.05                 |
| $\mathbf{q}_\perp^2 = 9$ | type-I  | 0.02                                   | -0.08                               | -0.03                                   | 0.02                                    | 0.05                  | 0.02                 |
|                          | type-II | 0.04                                   | 0.04                                | 0.04                                    | 0.04                                    | 0.04                  | 0.04                 |

$$[T_3]_{\lambda=0}^{\text{full}} \neq [T_3]_{\lambda=\pm 1}^{\text{full}} \neq [T_3]_{\lambda=\pm 2}^{\text{full}} \quad (\text{type - I}) \quad (27)$$

$$[T_3]_{\lambda=0}^{\text{full}} \doteq [T_3]_{\lambda=\pm 1}^{\text{full}} \doteq [T_3]_{\lambda=\pm 2}^{\text{full}} \quad (\text{type - II}) \quad (28)$$

## ■ “新” 的自治性问题

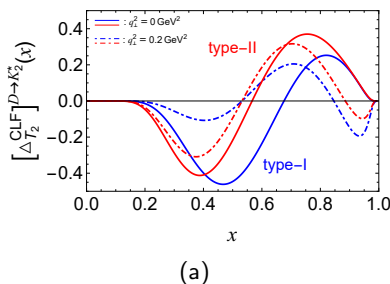
H. Y. Cheng and C. K. Chua, Phys. Rev. D **69**, 094007 (2004)

$$\begin{aligned}
 \text{CC : } & 2ig_{\nu\lambda}g_{\alpha\mu}g_{\beta\sigma}(P+q)^\beta \hat{k}_1'^\sigma \hat{k}_1'^\alpha \hat{k}_{1\delta}' = 2ig_{\nu\lambda}g_{\alpha\mu}g_{\beta\sigma}(P+q)^\beta \left[ (g^{\alpha\sigma}P_\delta + g_\delta^\alpha P^\sigma \right. \\
 & \quad \left. + g_\delta^\sigma P^\alpha)A_1^{(3)} + (g^{\alpha\sigma}q_\delta + g_\delta^\alpha q^\sigma + g_\delta^\sigma q^\alpha)A_2^{(3)} \right. \\
 & \quad \left. + P^\sigma P^\alpha P_\delta A_3^{(3)} + \dots \right] \\
 \text{ours : } & 2ig_{\nu\lambda}g_{\alpha\mu}g_{\beta\sigma}(P+q)^\beta \hat{k}_1'^\sigma \hat{k}_1'^\alpha \hat{k}_{1\delta}' = 2ig_{\nu\lambda} \hat{k}_{1\mu}' \hat{k}_{1\delta}' \hat{k}_1' \cdot (P+q)
 \end{aligned} \tag{29}$$

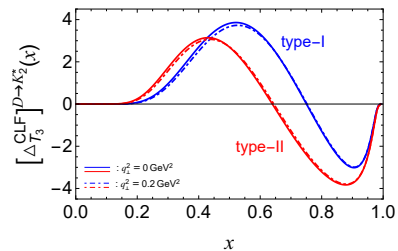
定义：

$$\Delta_{\mathcal{F}}^{\text{CLF}}(x, \mathbf{q}_\perp^2) \equiv \frac{d[\mathcal{F}]_{\text{ours}}^{\text{CLF}}}{dx} - \frac{d[\mathcal{F}]_{\text{CC}}^{\text{CLF}}}{dx}, \tag{30}$$

其中， $\mathcal{F} = T_{2,3\circ}$



(a)



(b)

Figure:  $D \rightarrow K_2^*$  在  $\mathbf{q}_\perp^2 = (0, 0.2) \text{ GeV}^2$  时  $\Delta_{T_{2,3}}^{\text{CLF}}$  对  $x$  的依赖性

## ■ 协变性问题

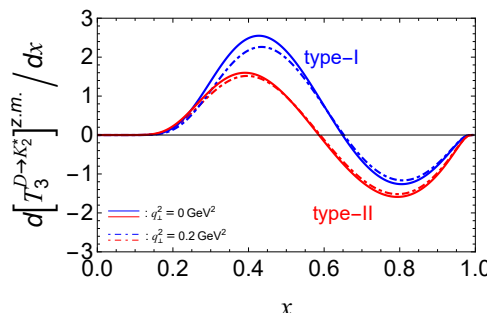
$$\begin{aligned}\widetilde{\mathcal{B}}_B(\Gamma = \sigma_{\mu\nu}\gamma_5 q^\nu) = & 4i\omega_\mu \epsilon^{*\lambda\delta} q_\lambda q_\delta \left\{ \frac{B_1^{(2)}}{\omega \cdot P} \left[ 2M'^2 - M''^2 + (m'_1 - m_2)(m_2 - m''_1) + q^2 \right. \right. \\ & - \frac{2}{D_{V,\text{con}}} \left. \left. ((M'^2 - M''^2)(m'_1 + m''_1) - q^2(m'_1 - m''_1 - 2m_2)) \right] \right. \\ & \left. + \dots \right. \end{aligned} \tag{31}$$

type-I: 矩阵元的协变性被破坏。

type-II: 协变性问题得以解决。

## ■ 零模贡献

$$[\mathcal{F}]^{\text{CLF}} = [\mathcal{F}]^{\text{val.}} + [\mathcal{F}]^{\text{z.m.}}$$



**Figure:**  $D \rightarrow K_2^*$  在  $\mathbf{q}_{\perp}^2 = (0, 0.2) \text{ GeV}^2$  时  $d[T_3]^{\text{z.m.}} / dx$  对  $x$  的依赖性

## ■ 数值结果

拟合方式:

$$\mathcal{F}(q^2) = \frac{\mathcal{F}(0)}{1 - q^2/m_{i,pole}^2} \left\{ 1 + \sum_{k=1}^N b_k [z(q^2, t_0)^k - z(0, t_0)^k] \right\}, \quad (32)$$

其中,  $z(q^2, t_0) = \frac{\sqrt{t_+ - q^2} - \sqrt{t_+ - t_0}}{\sqrt{t_+ - q^2} + \sqrt{t_+ - t_0}}$ ,  $t_{\pm} = (M' \pm M'')^2$ ,  $t_0 = (M' + M'')(\sqrt{M'} - \sqrt{M''})^2$ 。

**Table:** 本文在  $q^2 = 0$  计算的  $B \rightarrow a_2$  和  $B \rightarrow K_2^*$  形状因子的理论预测, 以及采用 QCD SR 和传统 CLF QM 计算的结果。

|          | $B \rightarrow a_2$    |                        |                        |      | $B \rightarrow K_2^*$  |                        |                        |       |
|----------|------------------------|------------------------|------------------------|------|------------------------|------------------------|------------------------|-------|
|          | this work              | QCD SR                 | pQCD                   | CLF  | this work              | QCD SR                 | pQCD                   | CLF   |
| $V(0)$   | $0.24^{+0.04}_{-0.04}$ | $0.18^{+0.12}_{-0.07}$ | $0.18^{+0.05}_{-0.04}$ | 0.28 | $0.28^{+0.05}_{-0.05}$ | $0.22^{+0.11}_{-0.08}$ | $0.21^{+0.06}_{-0.05}$ | 0.29  |
| $A_0(0)$ | $0.21^{+0.03}_{-0.03}$ | $0.30^{+0.06}_{-0.05}$ | $0.18^{+0.06}_{-0.04}$ | 0.24 | $0.24^{+0.04}_{-0.04}$ | $0.30^{+0.06}_{-0.05}$ | $0.18^{+0.05}_{-0.04}$ | 0.23  |
| $A_1(0)$ | $0.19^{+0.04}_{-0.03}$ | $0.16^{+0.09}_{-0.05}$ | $0.11^{+0.03}_{-0.03}$ | 0.21 | $0.22^{+0.07}_{-0.01}$ | $0.19^{+0.09}_{-0.07}$ | $0.13^{+0.04}_{-0.03}$ | 0.22  |
| $A_2(0)$ | $0.17^{+0.03}_{-0.02}$ | $0.07^{+0.08}_{-0.03}$ | $0.06^{+0.02}_{-0.01}$ | 0.19 | $0.20^{+0.04}_{-0.03}$ | $0.11^{+0.05}_{-0.06}$ | $0.08^{+0.03}_{-0.02}$ | 0.21  |
| $T_1(0)$ | $0.19^{+0.03}_{-0.03}$ | $0.15^{+0.09}_{-0.05}$ | $0.15^{+0.04}_{-0.03}$ |      | $0.23^{+0.04}_{-0.04}$ | $0.19^{+0.09}_{-0.06}$ | $0.17^{+0.05}_{-0.04}$ | 0.28  |
| $T_2(0)$ | $0.19^{+0.03}_{-0.03}$ | $0.15^{+0.09}_{-0.05}$ | $0.15^{+0.04}_{-0.03}$ |      | $0.23^{+0.04}_{-0.04}$ | $0.19^{+0.09}_{-0.06}$ | $0.17^{+0.05}_{-0.04}$ | 0.28  |
| $T_3(0)$ | $0.16^{+0.01}_{-0.05}$ | $0.07^{+0.06}_{-0.03}$ | $0.13^{+0.04}_{-0.03}$ |      | $0.12^{+0.03}_{-0.01}$ | $0.09^{+0.06}_{-0.04}$ | $0.14^{+0.05}_{-0.03}$ | -0.25 |



## 总结与展望：

- CLF QM会出现协变性破坏和两种自治性问题：一种是由非零的类光矢量 $\omega$ 依赖项引起的，这部分贡献同时破坏了洛伦兹协变性；另一种是由于采用不同处理强子矩阵元方法导致的。
- 通过修改协变框架和光前框架的对应关系（type-II方案），即可同时解决自治性和协变性问题。
- 以上研究结果不仅能够改进CLF计算框架，而且可以为介子唯象学研究提供必要的非微扰输入。

感谢各位专家老师批评指正！